

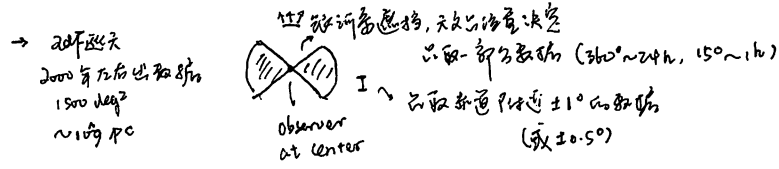
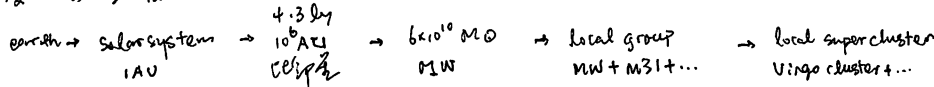
注：  
本课程技术细节，以观察大目标（恒星）为例  
作业多为数据拟合（课后作业技术）

课程目标：确定  
 1. 恒星 - 观测天体物理的起源  
 2. 恒星 - 观测天体物理的起源  
 3. 恒星天体物理学的历史和意义  
 4. 恒星物理的起源

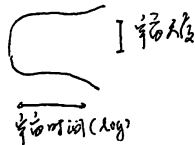
0.1 恒星 - 观测天体物理的起源

研究宇宙  
 包含所有空间、时间、物质、能量  
 (年) (宙)  
 (四方) (百级分卷)

1. 空间尺度：从观测到宇宙



→ Multiple Extreme Deep Field, 2M seconds  
 (全天 4000 deg<sup>2</sup>) 2.3" x 2.3", 包含 5500 星系  
 可以比全天 1 年曝光  
 数据量 10<sup>26</sup> bits



2. 时间尺度：从过去到未来

Chronology of the Universe (宇宙年表)

宇宙的年龄和演化，从大爆炸到现在  
 (1915~2018, 103 年) (宇宙年表)  
 1990 年，超新星研究宇宙学常数  
 (1980, 比邻星出现，天文学家开始寻找：1990 COBE 卫星 CMB 全天图)

3. 研究方法：从观测到理论再到观测  
 研究宇宙  
 (观测时间)  
 物理条件复杂，如 T.P.P.B)

观测天体物理学与天文学的交叉  
 观测天体物理学与天文学的交叉，天文学  
 的观测在时间上的跨度只是统计学的

经费：  
 Student seminar  
 统计天体物理花费  
 Sloan-4 新的投入  
 50,000 dollar  
 TMT 100,000 dollar  
 SKA >100 亿 dollar

0.2 天文学 - 观测天体物理的起源

设备：由肉眼 → 望远镜  
 观测  
 多波段  
 全波段 (引力波)  
 地：由地面 → 空间  
 范围：从太阳系 → 银河系 → 宇宙  
 存储：天体 → 天体物理 → 天体物理学家  
 天文学的起源

观测与天文  
 起源于对天体运行规律的探索  
 研究对象：天体运行规律和宇宙  
 研究方法：观测和理论

386 BC 希腊哲学家泰勒斯：预言日食

350 BC 亚里士多德：地球是圆和地心说 → Old Astronomy  
 Geocentric Universe

125 年 托勒密：完善地心说  
 成功：用几何学解释天体运动 (地心说解释)  
 行星无光差 (地心说解释) 无光差

1746 年 康德和拉普拉斯：星云说  
 失败：行星是进行  
 天体物理学家认为星云说

1915 年 Einstein: 相对论  
 ~310 BC  
 Aristarchus 阿基米德对日心说

哥白尼的日心说 Coperni  
 Tycho Brahe System 与观测天文学

1544 年 约翰内斯开普勒  
 发现行星运动定律  
 1585. Tycho System  
 地心，但行星绕太阳转

Galileo Galilei: (望远镜)  
 1609. 第一台天文望远镜  
 17 世纪传入中国，徐光启编《崇祯历书》  
 (夏商或西周)

Orion Nebular 猎户座星云  
 17 世纪发现星云 (diffuse nebulae)

Isaac Newton (1642-1707)  
 万有引力定律，万有引力定律

1915 年 Einstein 广义相对论  
 1915 年 Einstein 广义相对论

0.3 课程大纲与课程内容的意义

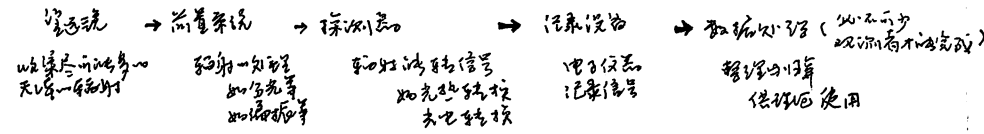
课程内容的意义  
课程内容的意义 (不完全是与 mock 的制作)

1. 课程内容的意义 { 课程内容的意义 { 课程内容的意义  
课程内容的意义 { 课程内容的意义 { 课程内容的意义

应用物理学的实验技术与物理研究中的物理性质  
1859, 德国, 普朗克, 石, 太阳, 纳光谱 (太阳光谱)  
中世纪的物理 { 射电 (20世纪40年代) (意大利, 波多, 无线电, 无线电)  
宇宙学 (中世纪) { 光子 (20世纪60年代) (詹姆斯·克拉克·麦克斯韦, 詹姆斯·克拉克·麦克斯韦)  
引力波 { 光子 (1609年, 望远镜, 19世纪, 麦克斯韦, 詹姆斯·克拉克·麦克斯韦)  
共同的动力学 { 光子 (1946年, 霍金, 1951年, 爱因斯坦)  
光子 (1946年, 霍金, 1951年, 爱因斯坦)  
光子 (1946年, 霍金, 1951年, 爱因斯坦)

1. 光子 (20世纪40年代) (意大利, 波多, 无线电, 无线电)  
光子 (20世纪60年代) (詹姆斯·克拉克·麦克斯韦, 詹姆斯·克拉克·麦克斯韦)  
光子 (1609年, 望远镜, 19世纪, 麦克斯韦, 詹姆斯·克拉克·麦克斯韦)  
光子 (1946年, 霍金, 1951年, 爱因斯坦)  
光子 (1946年, 霍金, 1951年, 爱因斯坦)  
光子 (1946年, 霍金, 1951年, 爱因斯坦)

2. 课程内容的意义 (期末考试)



3. 课程意义

产生与发展天文学的物理学  
物理学的意义  
物理学的发展, 物理学, 物理学, 物理学

0.4 课程大纲

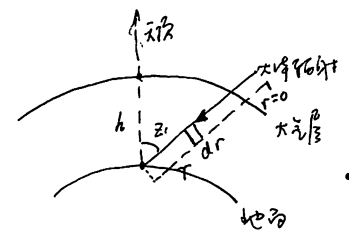
课程大纲, 30课时的课程, 18课时的课程

课程 (期末考试) 50分, 作业 10分, 课程 { 课程 15, 作业 15, 课程 10



二. 地球大气光学

- 折射 (薄壳差), 改变方向
- 吸收与散射 ("大气消光"), 改变强度且与频率有关 (改变光谱 shape)
- 大气气溶胶散射, 影响地面接收天文
- 大气消光, 影响光学观测质量 (星光明显变暗)

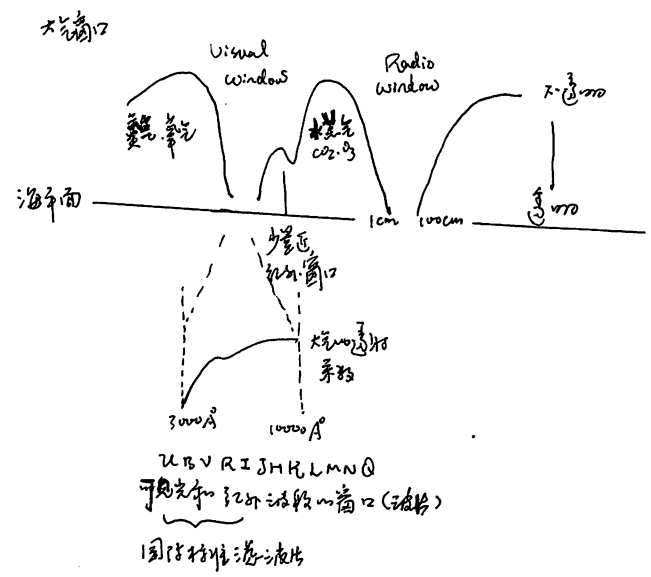


- $z_1$ : 天文高度
- 天文高度与观测, 消光不严重
- 大气消光系数与高度  $h$  的关系: 气层厚度  $dr$ , 则  $dF_\lambda = -\alpha_\lambda F_\lambda dr$
- 由大气层厚度  $z_1$  到  $z_2$  的消光  $\tau_\lambda(z) = \int_{z_2}^{z_1} \alpha_\lambda dr$
- $z_1$  为大气消光层厚度  $P_\lambda(z) = \frac{F_\lambda}{F_{0\lambda}}$
- 又  $P_\lambda$  与  $\tau_\lambda$  的关系是  $P_\lambda(z) = e^{-\tau_\lambda(z)}$  是消光和不消光的比值

大气垂直结构的层状

- P, P, T 随高度变化
- 按高度与成分可以分层:
  - 对流层 (Mount. 对流)
  - 平流层 (高空气团)
  - 中间层 (流星)
  - 热层
  - 外逸层
- $N_2$  78% 30000 层
- $CH_4, CO_2$  30000 km 层
- 尘埃 (4km), 水汽层
- 电离层 (电离层), 波  $> 2.5m$  的波全反射
- 60-2000km

大气消光: 改变辐射与吸收与成云



消光改正: 数据外推与重要部分

- 光强  $I = \frac{d\Phi}{d\Omega}$
- 光通量  $\Phi = \int \text{面积} \times I$
- 光强  $L_\nu = \text{cd} \cdot \text{sr}^{-2}$
- 光通量  $\Phi = \int \text{面积} \times L_\nu$

光度  $E = \text{单位面积光通量}$   
用单位是  $2.5 \log E$

若大气为平面平行层

$$\frac{d\tau}{dh} = -\sec z$$

$$\tau_\lambda(z) = \int_0^h \alpha_\lambda dh \Rightarrow \tau_\lambda(z) = \tau_\lambda(0) \sec z$$

定入大气不呈平面平行层, 有 air mass (大气质量)  $M_\lambda = \frac{\tau_\lambda(z)}{\tau_\lambda(0)} \geq 1$  意义

$$P_\lambda(z) = e^{-\tau_\lambda(z)} = P_\lambda^{M_\lambda(z)}$$

其中  $P_\lambda(0) = e^{-\tau_\lambda(0)} < 1$

因而  $\frac{F_\lambda}{F_{0\lambda}} = P_\lambda^{M_\lambda(z)}$ , 可由  $F_\lambda$  给出  $F_{0\lambda}$  (消光改正)

提前知: 给定  $z$ , 定出该  $z$  的天光消光 (一般是固定不变的),  $P_\lambda(0)$  已知  
如: 给定  $z$ ,  $M_\lambda(z)$  也可知

因此消光改正与大气垂直结构有关 (或随高度变化)

- 通过天光消光可以测出大气消光  $\frac{\tau_\lambda}{z_0} = P_\lambda^{M_\lambda(z)}$ ,  $\Delta M = m_\lambda - m_{0\lambda} = -2.5 \log \frac{\tau_\lambda}{z_0} = -2.5 M(z) \log P_\lambda(0)$
- [1] 即消光改正的参考高度, 其中  $P_\lambda(0), M_\lambda(z)$  可由消光量和天光帮助测出. [2]

电离层对离子层折射

$$n^2 = 1 - \frac{\omega_p^2}{\omega^2} = 1 - \left(\frac{f_p}{f}\right)^2 \geq 0$$

$\lambda_p$  为最高频率 (临界频率) 和波长  
 $\lambda_p \sim 23.5m$ , 对大气, 是在  $\lambda_p$  附近全反射

- 大气折射: 蓝光 (光向中心弯曲) 与紫光 (光向外弯曲), 平均高度 250km
- 折射 (地球大气 40000 km, 可以认为是平面层, 平均高度 250km)
- ~ 一年不同高度不同折射率, 最大在 10  $\mu m$
- 大气折射与频率有关 (折射率随频率增加), 在高频时折射率。

seeing (视宁度) 问题

地面观测的视宁度 0.4" (最佳系统性能为 0.5~0.6")  
1.4~1.5" (5200A)  
2"~3" (光谱观测)

### 三. 新的观测点也回泰

崇道: 在许富生球

松皮带:

证明消光: 用新的观测点证明 dust 分布  
再做消光的证

### 四. 台地问题

- 日清数据多: (无雨, 少云, 无高云)
- 天气变化: (沿海高云, 不规则环流层)
- 空气水汽, 尘埃: (沿海受太平洋)
- seeing 好
- 气流和急流: 无龙卷风, 台风
- 地物观测物如: 无地原等
- 无光污染: 远离城市

下一次国际大型观测地: 福城  
菜子塔塔  
阿瓦

常放天文台

高等天文观测无海物证

六教 6B308

03/13/2018 week 3

第三章 望不知时间 { 天球  
天球坐标系  
时间的计算

台地, 不同观测者, 不同时间  
的观测进行比较, 需要一个相同的时间(物理)坐标系.

### 2.1 天球

#### 一. 天球的概念

"天并不存在, 天球也不是球"

定义: 假设有一个围绕地球向心圆球, 它的半径

比所有已知天体还大, 称天球

• 观测者在地球中心 (不同观测者位置 < 天球半径, 可忽略)

• 所有相互平行的直线向同一方向延长, 与天球交于一点

• 不同远近的天体, 在同一视线上, 则在天球上的位置是重合的.

• 天球满足几何学圆球的一切性质.

\* 只知观测所以指定方位  
只知观测所以指定方位高  
(不同观测, 必须用足够)

\* 假设天球的半径是无穷大, 因而观测几乎与球  
心重合

### 二. 天球上的坐标系和参考圈

地球: 地球, 地球赤道, 经度圈, 纬度圈 (子午圈), 有  
初升圈

\* 如同自转与参考圈在 2 个轴  
和 1 个层上, 球架也是 4 个圈

\* 天球与地球关系极大

1. 天轴和天极: 天轴与天球心交点  
北天极, 南天极 (P, P')

天球上不同坐标系: 天球坐标系作用同运动的 (只有 P, P' 不动)  
周日平行圈: 恒星周日视运动画出的互相平行的圈  
(高天极垂直, 圈轴心)

#### 2. 天赤道

地球赤道无限延伸与天球心交圈  
天赤道面  
南天, 北天  
赤道圈, 赤道圈

3. 天顶和天地平: 与观测者垂直的平面  
观测者的天顶与脚底方向 (Z, Z')

#### 4. 天子午圈

唯一过 P 与 Z 的大圆.  
类似子午圈的天子午圈.  
恒星赤道, 天赤道  
天子午圈时, 消光少, 易观测

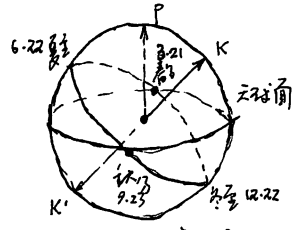
四方点:

北天, 南天: 天子午圈和真地平交点 (N, S)  
东天, 西天: 真地平与天赤道交点 (E, W)

在某种意义上常用到

5. 黄道, 黄极: 南, 北黄极 (K, K')

赤道和天赤道  
的交点  
春分点  
秋分点  
春分点与秋分点是地球公转轨道与天赤道  
的交点  
非常重要



以地球为参考系

关于时间, 四季都是因轴心, 但四季地轴轴心轴心:  
春分点与秋分点 50.2', 每 4000 年约 60. 2000 年约 30'  
每百年约

\* 春分点的西移  
导致黄道与天的位置关系

\* 5200 年约 30', 就是 2000 年春分点  
为黄道与天球赤道



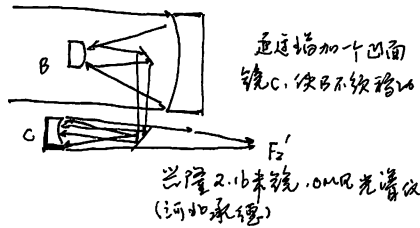
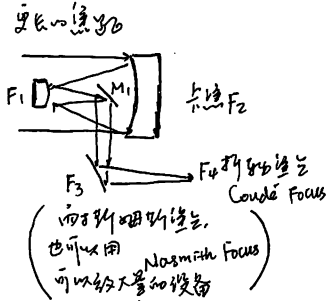




RC系统 { 主镜 ~ 凹面曲面  
副镜 ~ 凹面曲面

消除球差, 色差 (满足齐明条件)  
场曲仍为凹面为曲面  
我国2.16m RC系统

折光系统



折光反射望远镜: 反射望远镜: 反射面凹面, 改善成像质量 0.00x'' -> 另设直射  
三镜 (RC) 反射系统: 利用凹面镜  
交叉模拟 Keck.

五. 望远镜的跟踪系统

跟踪天体的周日视运动  
如欲跟踪在两条子午线间与赤道平行的天体 (赤道式, 地平式)

1. 地平式装置 { 小望远镜 // 地平仪跟踪圈  
大望远镜 ⊥ 地平仪跟踪圈



现在大型望远镜多用赤道式; 但赤道仪并非完美跟踪

2. 赤道式装置 { 赤道轴  
极轴



英式 ... 改进的英式 ... 英式  
(德式) (马耳他式, 英式)

又式和德式曾经运用可小型跟踪望远镜, 马耳他式运用大型。

3. 导星仪

导星系统, 跟踪望远镜与跟踪天体的视运动同轴转动

4. 导星装置

导星镜 (视场大) -> 用于小望远镜  
导星镜 (视场小) -> 用于大望远镜  
自动导星系统 (由计算机控制曝光时间, 能以高精度跟踪恒星位置)

3. 折反射望远镜: 先透透镜, 再反射镜

施密特望远镜 (德, 1931, B.V. Schmidt) 球面反射镜 + 透透镜 (改正) (D=3) (D=2) -> 大视场 + 消除球差 (很复杂)

马苏尔托望远镜 (苏, 1944) 改正透镜形状不同 -> 大视场 + 消除球差, 色差 (Sometimes 校正) (比Schmidt略小) 场曲严重

贝耳系统 球面镜 + 菲涅尔透镜  
超远望镜系统 多次改正, 进一步大视场 (视场达55度) 104倍倍率 光损失严重

四. 各种望远镜的优缺点和用途

反射式: 无色差  
光损失小 (光管较密封, 密封率80%左右)  
口径大, 相对口径大 (集光力, 观测暗天体, 极限) -> 观测不透明天体的光谱, 为光  
可靠有各种光学系统

折光式: 视场大  
密封好  
镜面打磨精度高  
温度稳定性好

折反射式: 较大视场和相对口径 -> 通光大而视场大, 视场不平, 快速运动的物体  
(行星, 彗星, 流星, 人造卫星)  
我国60/90cm Schmidt+施密特望远镜的2.5x

3.2 导星探测系统

导星探测系统为可测信号之条件  
(如用导星探测台系统中探测到的数据作图, 将导星的探测数据介绍)

- 光化学反应
- 光谱识别
- 光电识别 (光电识别, 如光电探测设备, 流量等)
- 波比变化 (干涉探测)



(2) CMOS (互补型金属氧化物半导体)

每个像素都有自己的通道 { 成像质量差, 灵敏度差, 暗流, 噪声大 (天文观测不用)  
(CCD前一位以牺牲) 但响应时间很快, 省电, 尺寸小  
线路简单, 读出噪声, 耗电大

3.3 主动光学系统与自适应光学系统

被动光学 (passive optics)

主动光学 (active optics) → 观测时实时调整望远镜的形状  
消除重力导致形变, 误差;

第一架主动光学望远镜 ESO, NTT (8.5米, New Technology Telescope)  
1989年研制和使用

自适应光学 (adaptive optics)

消除大气湍流 (seeing) 对分辨率的限制  
根据 seeing 实时调整反射镜的形状 (每秒几十次修正, 每毫秒修正几十次)

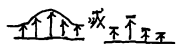
AO系统

~ 波前探测 { 引导星 (激光产生) 或自然星  
多束星 (1000颗恒星阵列)

~ 波前校正系统 用多束星反射的光  
进入波前传感器, 由密集CCD记录; 分析系统产生误差

自适应光学系统

TMT → 6米引导星  
2个改正镜



Heckl可以观察到 0.1" 以下

GLAO (ground layer) 观测地表现近  
的大气扰动 (300m以下)  
比较容易, 可以观察到 0.3" 以下

3.4 大视场多目标的自适应光学系统

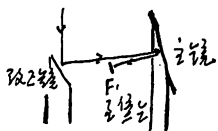
2017 S20AN (30视场, 600根光纤)

主动反射镜多目标自适应光学系统 LAMOST

large area multi-object fiber spectroscopic telescope

主镜6米 (有效口径4米)

改正镜 → 补偿4角余光 (主镜与改正镜都是反射镜) } 大口径和大视场



3.5 未来望远镜展望

- 增加口径
- 增加探测器灵敏度, 分辨率

观测时间, 避开天光

大口径口径

望远镜面阵技术

多波段观测, 望远镜, 望远镜组合

主动光学技术

自适应光学

干涉技术

地基望远镜

1997年, MMT (多镜面望远镜) 是第一次成功安装。  
现在观测是单镜面 (6m), 2000年装上

TMT ~ 30米  
ELT ~ 39.2米  
JWST

第四章

光度测量 photometry { 测光系统  
光电探测器  
多色测光系统  
校准与校正

高光谱观测与物理 数据 68308  
0403/2018 week 5

测光, 对测光, 测光已经不做了, 一般和图像一起的 { 光谱  
校准, 校准, 改正, 色指数和色指数仍然很重要;  
定标方法也仍然一样。

测光是光度测量的前提, 是观测的探测器 + 望远镜的照度 E = 能量 / (面积 \* 时间) [erg/cm^2/s] 或 mag/m^2

光度 [erg/s]

光度通量  $= K \int_0^{2\pi} \int_{\theta_1}^{\theta_2} V(\lambda) d\lambda$  [lm sr erg/s]

光度通量  $I = \frac{d\Phi}{d\Omega}$  [cd = lm/sr]

光度  $L_v [cd/m^2]$  [erg/s/m^2/sr] 辐射通量  $M [erg/s/m^2]$  辐射  $E [lux = lm/m^2]$  [erg/s/cm^2]

目视星等  $m_v = -2.5 \lg E + C = -2.5 \lg E/E_0$  (与视星等相反)

Hipparchus 和星等, E 差 100倍  
相差, E 差 100.4 = 2.512倍

视星等极限  $m_v = 6$ , Sirius -1.5 Sun -27, Full moon -12.5

• 绝对零度: 无噪声 (0K) 的极限, 反映无噪声的温度

$$M - M_0 = 5 - 5 \log \frac{d}{PC}$$

$$M - M_0 = -2.5 \log \frac{L}{L_0}$$

$$M_0 = 4.75^m \text{ (右半部噪声)}$$

• 传输端方差的测试

噪声测试  $\times 10\% \text{ mag}$

噪声测试  $\times 1\% \text{ mag}$

PMT 测试  $0.1\% \text{ mag}$  → 对于高信噪比的测试灵敏度重要

CCD 测试  $1\% \text{ mag}$  → 噪声是核心

噪声测试的测试方法: 噪声测试反映无噪声的温度; 噪声测试, 噪声测试;

由于绝对零度的定义不同, 导致不同的测试系统。

• 噪声测试系统的测试

无噪声 (dB), 噪声, 噪声。

噪声测试与 S/D

$M_v$  噪声测试, 噪声 T.T 等

...

#### 4.1 测试系统

噪声测试 (噪声测试, 噪声测试)  
噪声测试 (噪声测试, 噪声测试)  
噪声测试 (噪声测试, 噪声测试)

噪声测试的测试范围, 噪声测试, 噪声测试...

• 噪声测试的测试系统

噪声:  $F_n = P_n \text{ (dB)}$

$e^{-T_n}$  为噪声测试

噪声测试的测试系统  $g_n$ , 噪声测试  $T_n$ , 噪声测试  $P_n$

$\Phi_n = g_n T_n P_n$  噪声测试的测试系统

$\Phi_n = \frac{\Phi_n}{\Phi_{n0}}$  噪声测试的测试系统

噪声测试

$D_n = k g_n P_n \text{ (dB)}$ ,  $k$  为常数

$D = \int_{f_1}^{f_2} P_n df = k \frac{D}{f_0}$ ,  $f_1=0, f_2=\infty$

$m = -2.5 \log D + a'$   
 $= -2.5 \log \frac{D}{f_0} + a'$  噪声测试, 噪声测试

由于噪声的测试系统不同, 噪声测试不同, 噪声测试不同; 噪声测试的测试系统不同, 噪声测试不同; 噪声测试的测试系统不同, 噪声测试不同;

噪声测试的测试系统

$m_0 = -2.5 \log \int_{f_1}^{f_2} P_n df + a$

不同的  $g_n$  ( $\Phi_n$ ) 噪声测试不同, 噪声测试不同

#### 二. 噪声测试的测试系统

$g_n$  噪声测试的测试系统

噪声测试  $\lambda_m = \int_0^{\infty} \lambda e^{-\lambda} d\lambda \Big| \int_0^{\infty} e^{-\lambda} d\lambda$

噪声测试  $\lambda_{eff} = \frac{\int_0^{\infty} \lambda^2 e^{-\lambda} d\lambda}{\int_0^{\infty} \lambda e^{-\lambda} d\lambda}$   
噪声测试的测试系统

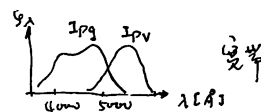
噪声测试  $\Delta \lambda = \lambda_2 - \lambda_1$

噪声测试  $\Delta \lambda = 7500 \text{ A}$  噪声测试, 噪声测试  
 $3000 \text{ A} > \Delta \lambda > 1000 \text{ A}$   
 $\Delta \lambda < 1000 \text{ A}$  噪声测试, 噪声测试

#### 三. 噪声测试系统

1. 噪声测试系统

噪声测试  $\lambda_m \sim 4500 \text{ A}$   $\Delta \lambda = 3000 \text{ A} \rightarrow 5000 \text{ A}$   
噪声测试  $\lambda_m \sim 5500 \text{ A}$   $\Delta \lambda = 5000 \text{ A} \rightarrow 5800 \text{ A}$



1922年 IAU 噪声测试 噪声测试 + 噪声测试

1924年 噪声测试的测试系统

$C = m_{pg} - m_{pv}$  噪声测试 (噪声测试 - 噪声测试, 噪声测试, 噪声测试)

噪声测试:  $5.5 - 6.5 \text{ mag}$  噪声测试, 噪声测试

噪声测试的测试系统 噪声测试的测试系统, 噪声测试的测试系统 (NPS)

噪声测试  $\left\{ \begin{array}{l} \text{噪声测试的测试系统} \\ \text{噪声测试的测试系统} \\ \text{噪声测试的测试系统} \end{array} \right.$

#### 2. UVV 噪声测试系统 (噪声测试)

噪声测试 (噪声测试)  $v$  (噪声测试), 噪声测试, 噪声测试

$\lambda_{eff}$	360 400	550
$\Delta \lambda$	60 90	90

[A]

噪声测试的测试系统, 噪声测试的测试系统

噪声测试, 噪声测试

噪声测试的测试系统, 噪声测试的测试系统, 噪声测试的测试系统

B-V	T
0.65	6000
0.28	30000

#### 3. uvby 噪声测试系统 (噪声测试)

噪声测试的测试系统

#### 4. 噪声测试的测试系统

噪声测试  $u, g, r, i, z$   
噪声测试, 噪声测试

噪声测试的测试系统 + 噪声测试的测试系统  
噪声测试的测试系统 (噪声测试的测试系统, 噪声测试的测试系统, 噪声测试的测试系统)

噪声测试的测试系统  $\rightarrow$  噪声测试的测试系统  
噪声测试的测试系统, 噪声测试的测试系统

北京总部的 60/90cm 施密特望远镜

BATC 系统

4056x496 像素 CCD, 15x 中光谱支路 (abcdetg...)  
大视场的多色巡天 (没有 COMBO-17 有名)

UVRI 光谱系统

16 通道

JHK LMNO (12 通道) 光电 L-Band ~ 2.1um  
1.4GHz

MegaCam @ CFHT

grizy @ Subaru 以及一些窄带 (NB 387)  
narrow band

识别红移, r, quasar (黄洞), 小行星, 星团  
识别符号标记

对高红移星系, 宽带识别信息不足  
窄带识别 (识别红移 SF 的与波段, 如 Ly-alpha)  
对识别红移的 Ly-alpha, 光谱符合  
红移的 Ly-alpha

5. 识别红移与识别光材料选择

识别红移效率和色指数已知与红移的识别  
用窄带识别色指数与红移的识别

识别红移效率和色指数已知与红移的识别  
识别红移效率和色指数已知与红移的识别  
1973 年已有 7600 条红移的星表

流量定标  
流量定标 (pixels 流量定标)

6. AB 星等

长和以 Vega 星等用符号 (Vega 星等为星等, 并且所有波段都是星等)  
但 Vega 符号 0.03 的流量

AB 星等系统, 5000 的流量星等为 0

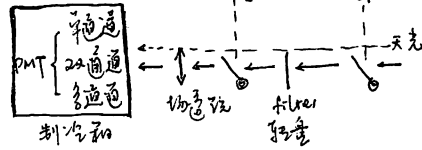
$(1 \text{ Jy} = 10^{-23} \text{ erg} \cdot \text{s}^{-1} \cdot \text{cm}^{-2} \cdot \text{Hz} = 10^{-26} \text{ W} \cdot \text{m}^{-2} \cdot \text{Hz}^{-1})$

$m_{AB} = -2.5 \log F_{\nu}(\text{obj}) - 48.60$

$= m_{\text{Jy}}(\text{obj}) + m_{\text{Jy}}(\text{Vega})$  (5 Vega 星等符号)  
(Obj 以 Vega 星等) (Vega 以 AB 星等)

4.2 光电识别光

一. 光电光度计



窄通道需要共相, 再相背景星光, 扣除  
双通道所以同时测量与背景光  
窄通道所以每个 band 同时工作 (但每个 band 不同 band 因而每个的 flux 不同, 识别红移星)

二. 光电测量的计算

1. 扣除背景星光

$m_i = -2.5 \log (R_i - D_i)$   
星光

2. 光电消光校正 (一般忽略)

$m_i - m_{i0} = (k_i' + k_i'' C_i) M(B)$   
观测 校正 色指数

$m_i - m_{i0} = (k_i' + k_i'' C_i) \cdot M(B)$

观测两款识别星, 求出  $k_i''$  与  $k_i'$ , 就可以给出校正方法

3. 转化到标准星等 (星等比方程)

e.g. Sloan ugriz 与 Vega UVRI

$\begin{cases} M_1 + \epsilon_1 = c_1 & c_1, m_1 \text{ 为双识别星} \\ M_2 + \epsilon_2 + \epsilon_m = m_2 & c_2, m_2 \text{ 为识别星} \end{cases}$

双识别星星等, 校正色  $M_1, \epsilon_1, \epsilon_m$ , 然后的星等与校正关系  
标准星等 与 标准

三. 光电识别光与识别光与识别光 (100% 星等)

1. 识别误差

亮 (识别误差)  
暗 (识别误差)  
闪烁 (识别误差)  
闪烁 (识别误差, 不可玩)

1. 无识别识别  
2. 暗光识别 (所以, 大星识别不稳定的, 暗光识别与双识别星暗光识别)  
3. 标准星与识别星亮度接近

2. 系统误差

3. 识别误差与误差方法

致冷, 屏蔽杂光, 识别识别星.

### 4.3 多色测光的应用

色指数, 色温度, 星际消光量, 色余, 巴耳末跳变, 绝对年龄, 消光率, 消光率与消光量

#### 1. 多色测光与色温度

恒星色温度  $\rightarrow$  消光  $\rightarrow$  色温  $\rightarrow$  T

#### 2. 消光消光 extinction

消光量  $A(\lambda) = m_0(\lambda) - m_{real}(\lambda)$   
大消光消光 真色星

在光学波段  $A(\lambda) \sim \frac{1}{\lambda}$   
( $\alpha \sim 1$ )  $\begin{cases} 10000 \text{ \AA} \sim 0 \\ 3000 \text{ \AA} \sim 1.5 \end{cases}$

色余 (color excess)

$E(\lambda_1, \lambda_2) = G(\lambda_1, \lambda_2) - G_{real}(\lambda_1, \lambda_2) = A(\lambda_1) - A(\lambda_2)$   
色余表示星体色化, 是两个波长的消光差

在紫外波段 色余  $\sim \lambda^2$  (不同恒星, 不同系, 不同星)

消光效率

$R(\lambda_1, \lambda_2) = \frac{A(\lambda_1)}{E(\lambda_1, \lambda_2)}$

$R_{BV} = \frac{A(BV)}{E(B-V)} \sim 4.0$  或  $A_B \approx 3.4 A_V$

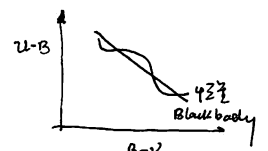
色余和  $E(\lambda_1, \lambda_2)$  的已知消光  $E(A(\lambda_1), A(\lambda_2))$   
紫外色余表, 紫外色余用下商色温  
(与  $n, dec$  有关)

#### 3. 双色指数图 (color-color diagram)

如 U-B 和 B-V 关系图

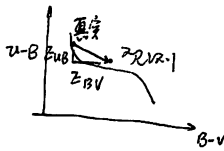
不同星系的色温, 谱型如  $quasar$  的  $U, B, V$  颜色  
不同星系的色温,  $quasar$  在双色指数图上占很不同的位置

星源  $\rightarrow$  星源  
星源  $\rightarrow$  star quasar  
星源  $\rightarrow$  星源

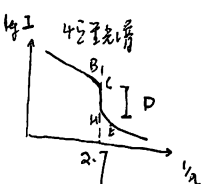


色余  $Q = (U-B) - \frac{Z_{UB}}{Z_{BV}}(B-V)$

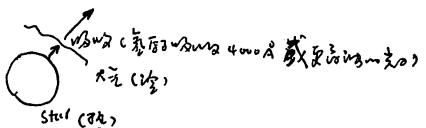
发现色温的  $Q$  与  $B-V$  存在很好的线性关系, 因此  $B-V$  可以拟合  $Q$



#### 4. 巴耳末跳变



可以表示  $Q$  与  $D$  对  $A_2$  到  $A_3$  存在良好的线性关系

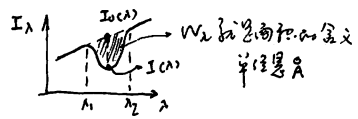


表示  $Q$  与  $D$  对  $A_2$  到  $A_3$  存在良好的线性关系  $\rightarrow$  消光修正  
消光修正  $\rightarrow$  消光修正  
所以  $4000 \text{ \AA}$  break 可以表示星体在色温上的位置 (galaxy)

### 5. 窄带测光与光谱能量分布

(1) 窄带测光与光谱能量分布 (光谱能量分布)

$W_\lambda = \int_{\lambda_1}^{\lambda_2} (1 - \frac{I_\lambda}{I_0}) d\lambda$



$\lambda_1$  与  $\lambda_2$  为窄带测光的两个截止波长  
交界处的波长

采用三块窄带滤光片测谱线的窄带测光: 一块为线心滤光, 一块为线边滤光, 一块在连续谱右侧

窄带测光与消光  $\begin{cases} 窄带测光与消光, 星体色温不显著 \\ 窄带测光与消光, 星体色温不显著 \end{cases}$

(2) 窄带测光与消光, 常为负数

#### 6. 测光红移

窄带测光与消光  
窄带测光与消光  
窄带测光与消光

对比 (窄带测光)  
测光红移与不同红移的对比

误差  $\sim 1\%$ , 对光谱红移的测量精度 (光谱红移)  
e.g. photo-z from CLOUDS-u + HSC-grizy  $\frac{\delta}{1+z} \sim 0.037$  ( $z \leq 2.5$ )  
HSC-grizy  $\frac{\delta}{1+z} \sim 0.048$

测光红移的精度, 原因是存在一些谱线 feature  
最显著的是  $4000 \text{ \AA}$  break  
以及 Ly break



#### 7. 红移

红移  $z = \frac{\Delta \lambda}{\lambda} = \frac{v}{c}$  (或  $\lambda = \lambda_0(1+z)$ )

而观测到的用固定的 filter, 对于不同红移天体, 其相对重量密度  $\rho$ :

做红移与 photo-z 一样, 即模板匹配方法或称谱能量分布拟合方法 (SED fitting)  
SED 模板分为两类  $\begin{cases} 星体色温 \\ 星体色温 \end{cases}$  即  $\begin{cases} 星体色温 \\ 星体色温 \end{cases}$   
红移红移修正与消光修正

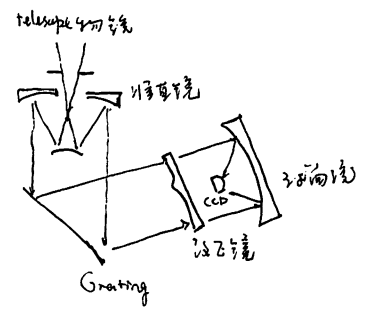
不仅对测光红移有用, 还对光谱有用 (因为光谱红移量是更准确的, 有时红移修正)  
Blanton M. et al. 2013 on CoRoT  $\begin{cases} 红移光谱 (红移光谱) \\ 可观测红移 \end{cases}$





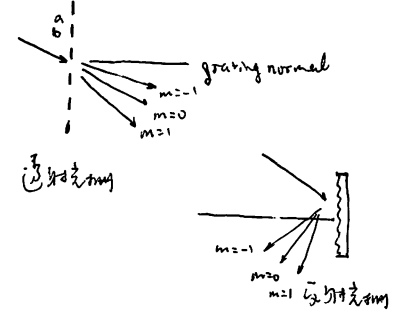
### 5.4 光栅光谱仪

1. 准直系统 + 色散系统(衍射光栅) + 接收系统



光栅常数  $d = a + b$  (光栅间距) (单位: mm)  
 光栅刻线数  $N$  (条)  $\sim$  毫米/mm  
 $d \approx 0.005 \text{ mm}$

衍射光栅: 平行、等宽、等距的狭缝(反射面)  
 原理: 利用光的衍射与干涉原理  
 达到色散的目的



2. 工作原理: 光栅光谱仪中的色散原理与现象——衍射  
 障碍物尺寸  $\downarrow$ , 波长  $\uparrow$ , 衍射现象明显  
 原理: 惠更斯-菲涅尔原理  
 次波源决定后缘以波前和波中点

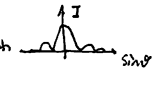
Fresnel 衍射  
 Fraunhofer 衍射 (无限远或加透镜)

干涉现象

明条纹中  $a \sin \theta = \pm (2k+1) \frac{\lambda}{2}$ ,  $k=0,1,2,3$

暗条纹中  $a \sin \theta = \pm k\lambda$ ,  $k=1,2,3$

中央条纹亮度是其他明纹  $\rightarrow 2$  倍, 每次极大  $\frac{I}{I_0}$  级次越高  
 光强  $I = I_0 \left(\frac{\sin \alpha}{\alpha}\right)^2$ ,  $\alpha = \pi a \sin \theta / \lambda$



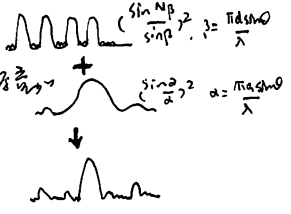
2. 干涉干涉: 两束单色光相干叠加  
 $I = I_1 + I_2 + 2\sqrt{I_1 I_2} \cos \Delta \phi$

$$\Delta \phi = \frac{2\pi}{\lambda} (r_2 - r_1)$$

$$\Delta \phi = \frac{2\pi}{\lambda} d \sin \theta$$

干涉现象

干涉: 有限级数干涉光强  
 干涉: 波前干涉多子波源



干涉干涉:  $\delta = d \sin \theta$  干涉相程差(光程差)  
 $\Delta \phi = \frac{2\pi}{\lambda} \delta$

缝宽  $d \rightarrow N$  增大, 主极大高度变高, 级次不同增加(但相对高度变小)

干涉干涉:  $N\lambda/2 \leq d \sin \theta \leq (N+1)\lambda/2$

$$I(\theta) = I_0 \left(\frac{\sin \frac{N\alpha}{2}}{\sin \frac{\alpha}{2}}\right)^2 \left(\frac{\sin \alpha}{\alpha}\right)^2$$

干涉干涉:  $d \sin \theta = m\lambda$   
 干涉干涉:  $d \sin \theta = m\lambda$   
 干涉干涉:  $d \sin \theta = m\lambda$   
 干涉干涉:  $d \sin \theta = m\lambda$

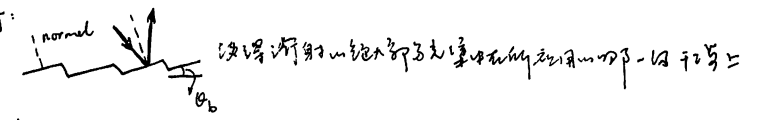
3. 复色光衍射光栅时, 各级光谱向外依次不可切分, 形成光栅光谱

中央为白色, 两侧为彩色(内紫外红); 各级向外, 高级与低级多  
 0级为白光  
 1级  
 2级  
 3级  
 4级

4. 定向光栅(闪耀光栅)

定向光栅的特点: 干涉光谱与衍射光谱重合, 中央为白光

定向光栅:



闪耀角  $\theta_b$

闪耀光栅: 衍射角与光栅刻面法线夹角  $\theta_b$  的光谱线

闪耀条件: 闪耀光栅  $\lambda_b = 2d \sin \theta_b$   
 (Littrow condition) 闪耀角  $m$  级闪耀光栅

5. 光栅光谱仪中各级光强均可计算

$$I \propto \frac{1}{d^2 \cos^2 \theta}$$

光栅光谱仪中各级光强计算公式  $R = \frac{I}{I_0} = \frac{\lambda}{d \cos \theta} = \frac{mN}{d \cos \theta}$   
 $N$  级数, 衍射角  $\theta$  级数  
 $\lambda$  光栅刻线间距  
 $d$  光栅常数

6. 自由光谱范围 高级光谱重叠现象, 开始重叠

第二级  $\lambda_2$  光与第一级  $\lambda_1$  光开始重叠  
 $4000 \text{ \AA}$

自由光谱范围 高级光谱重叠现象, 开始重叠  
 干涉干涉:  $\lambda_2$  光与  $\lambda_1$  光开始重叠  
 (一般: 普通光栅级数  $2 \sim 3$  级)

$$(m-1)\lambda_2 = m\lambda_1$$

$$\lambda_2 = 4000 \text{ \AA}$$

所以  $m=2$  级光谱的自由光谱范围  $4000 \sim 6000 \text{ \AA}$

同理  $m=1$  级光谱的自由光谱范围  $4000 \sim 8000 \text{ \AA}$

干涉干涉:  $d(\sin \theta + \sin \theta) = (m+1)\lambda$   
 $d(\sin \theta + \sin \theta) = m(\lambda + \Delta \lambda)$   
 $\Rightarrow \Delta \lambda = \frac{\lambda}{m}$   
 干涉干涉: 自由光谱范围  $\lambda \sim \lambda + \Delta \lambda$

$$-\frac{1}{2} \Delta \lambda = \frac{4000}{2} \approx 2000 \quad (4000 \sim 8000)$$

$$= \frac{1}{2} \Delta \lambda = \frac{4000}{2} \approx 2000 \quad (4000 \sim 6000)$$

7. 光谱仪鬼影

8. 衍射光谱

相对于衍射入口的宽度而言, 必须用经向级次来度量; 因此具有极窄的色散度, 但自由光谱范围很小 (解决与理论在垂直方向再附加一个色散的光谱/棱镜, 使色散可以分开)

9. 干涉仪

没有狭缝, 高光谱分辨率, 色散级数高, 但光谱处理复杂。

### 5.5 光谱系统的分类

1. 下色光谱仪

把光谱仪以狭缝为轴放在望远镜焦平面内;

2. 折光光谱仪

如色散光谱仪不高色散

3. 多通道示导光谱仪 (e.g. Gemini Multi-Object Spectrograph)

4. 光纤引导多目标光谱仪

光谱相互之间 (MMT 6.5m telescope) 不能交叉, 因而观测光源与光源之间由光纤引导至观测系统 (CAMBOT) 这种光谱和多光纤技术, 同时观测 4000 光谱 (色散与狭缝系统)

5. 无衍射光谱仪

## 第六章 分光观测及其数据处理

六经 6/23/08 week7 04/17/2018

6.1 观测准备: 申请时间, 观测证

6.2 光谱观测: 仪器设置, 时间计算

6.1 观测准备:

观测申请 项目名称  
科学内容: 大量阅读文献  
观测时间: 详细+科学意义+望远镜+观测能力  
最近成果: paper list  
论文发表: 折光, 干涉, BPOSC  
观测对象

观测工具

观测时间计算: 望远镜 webpage  
Proas { 与台站  
观测时间 → 可观测时间  
天气准备

光谱观测

6.2 仪器设置

Order 3: 1级光谱  
Blurred at 5500 Å: 闪耀光栅  
Slit: 2.2": 狭缝宽度  
Seeing: 2.0"  
CCD gain: 2.25 CCD增益

观测单位: 以 FITS 格式保存

Obj 2145, Btime Exp (s) B.A. DAC Epoch  
HD 19445 观测时间 曝光时间 ~ ~ 2000  
4号板, 4号板, 4号板  
NAC 0.25 (单架)

个别像素 ~ 亮的光带   
flat (平场)

光谱仪和探测器可以用来观测绝对通量一定标准 flux

观测天体 ~ 亮的光带 

HEAT (校准灯) 校准灯: 泡, 光谱已知, 可以定标读出

校准灯: 90% 校准  
天空中有杂波 (天空的杂波) 圆顶 Dome 中的天体, 但天空的杂波  
由于 CCD 并非理想 (杂波) 校正 CCD 响应

sky flat Dome flat (天空, 早晨或黄昏, 均匀照明, 或用印布)

Bias

（零时间噪声，是仪器本身的噪声造成CCD的偏差）

Bias是恒定的同一数值

→ Bias Dome, sky flat HeAr HD... NGC, HD, Deneb star Bias

观测流程

严格来讲，每个观测都详细记录~制导星和制导星门；但往往多个观测共用制导

记录图：

如何开通望远镜进行了校准（导星镜看不到暗弱恒星）  
用望远镜对准恒星校准，然后指向目标恒星位置

6.3 光谱处理

天文软件 IRAF 专门处理图像 (CCD) 校准  
光谱图像 → 应用物理

Image Reduction and

Analysis Facility

http://iraf.noao.edu

账号

初始地址: mkeiraf → login.cl uparm/

ssh -T  
obsast@venus.phys.tsinghua.edu.cn  
gdsc+twl

登录退出: cl; logout;

在终端帮助: help splot; help display; reference display

参数设置 epar; fpar (elit和list)

/cd 2018 spring; students /name

data for students 2018

\$ xy term 8 指定在哪个终端环境登录

log in; logout 退出

\$ ds9 打开 ds9

\$ vocl 在 login-cl 目录下 (否则在 ~ 目录下)

进入 交互环境

进入数据 /20020108

在 obsast 中是 licheny 的账号

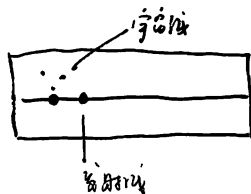
是 517p:hs 的账号，记录在 20020108/ log

\$ display ... 显示文件

||

\$ epar display

scale ~ mag



如何校准亮度? 多次曝光, 消除偏差

Pre-extraction Reduction for CCD Data

先对提取的 data, 对每帧做, 去除 bias, 初步处理数据

Extraction and Calibration

for ccdread

读入数据, 先读帧和曝光时间 (2d → 1d) 2d 开始

1. Find the spec display input 对给帧的与星也同时给 window
2. Define extraction window. 提取范围 (上下左右)
3. Trace center of spatial profile
4. 总称

光谱 apall → 光谱数据

光谱数据, 用 光谱 apall + identify

(何指或三根线)  
以板上的波数

flux calibration (光谱校准) 同时也做了

Line map.gif

- 光谱数据
- baseextract.dat 光谱数据
- peisectb. 光谱数据
- infnote.pdf 光谱

第七章 光谱应用 (选讲)

内容见 PPT.

# 第八章 偏振测量

测量, 光谱, 偏振, 图像观测是天文学四大观测内容  
05.15.2018

天文观测的右面部分  
是与地面观测结合的

射电观测, 紫外近红外观测, X射线天文观测  
05.29, 05.21, 05.25

作业: 课后习题

## 8.2 偏振的描述

干涉: 干涉干涉 ~ 干涉干涉  
偏振 ~ 矢量描述

### 1. 偏振坐标

$$E_x = x \sin(\omega t - \epsilon_x)$$
$$E_y = y \sin(\omega t - \epsilon_y)$$

$$\frac{E_x^2}{x^2} + \frac{E_y^2}{y^2} - 2 \frac{E_x E_y}{xy} \cos \delta = \sin^2 \delta$$

$\delta = \epsilon_x - \epsilon_y$

同时可以用  $\delta, x, y$  表示  
进而可以画出椭圆方程  
与  $x, y$  轴夹角

$\delta$  角描述了偏振态  
 $E$  的矢端轨迹 - 椭圆 (椭圆) ~ 椭圆偏振光

- $0 < \delta < \pi$  右旋 (顺时针)
- $-\pi < \delta < 0$  左旋
- $\delta = m\pi$  线偏振光
- $\delta = (2m+1)\pi$  二轴偏振光 (椭圆偏振)
- $\delta = (2m+1)\frac{\pi}{2}$  圆偏振光

## 8.1 概述

### 1. 光的偏振态

光的偏振态特性  
振幅 (光强)  
频率 (光色)  
偏振 (偏振观测)  
分布 (图像观测)

光一偏振态用电矢量来描述, 偏振态为矢量

自然光 (自然光随机分布, 故名自然光)  
微偏振光 (光在平面内分布的偏振光)  
圆偏振光  
椭圆偏振光  
都是偏振 (介于自然光和微偏振光之间)

### 2. 光偏振的发现

1811. 法国 Arago D.E. 发现月球反射光为部分偏振光.  
1768. Walker M.F. 对 AGN (NGC 1068) 观测, 发现 AGN 的偏振程度普遍  
(由尘埃区的散射引起)

### 3. 偏振光的产生

月亮的散射  
AGN 的 SFR, Akarar 等产生  
微偏振光的  
偏振与偏振度

只产生二色性  
尘埃吸收一个方向的偏振光

光的传播

### 4. 偏振观测的意义

观测困难 (部分偏振光 ~ 偏振度极低只有 1%)  
提供关于物理状况, 辐射机制和传播路径的介观性质的度量

### 2. 斯托克斯参数

$x, y, \delta$  参数彼此不同, 同时讨论偏振光传播性质非常不方便.

斯托克斯引入参数

$$(x^2 + y^2)^2 - (x^2 - y^2)^2 - (2xy \cos \delta)^2 = (2xy \sin \delta)^2$$

$I = S_0$     $S_1 = Q$     $S_2 = U$     $S_3 = V$

(斯托克斯参数) 偏振度 偏振角 偏振度

$$S = (I, Q, U, V)$$
$$I^2 = Q^2 + U^2 + V^2$$

先讨论只有三个参数的斯托克斯参数

斯托克斯参数?

$$S = (1, 0, 0, 0) \text{ 自然光}$$
$$S = (1, 0, 0, 0) \text{ for 100\% 线偏振 at } 0^\circ$$
$$S = (1, 0, 1, 0) \text{ for 100\% 线偏振 at } 45^\circ$$
$$S = (1, -1, 0, 0) \text{ for 100\% 线偏振 at } 90^\circ$$
$$S = (1, 0, 0, 1) \text{ for circular polarized 右旋左旋}$$

斯托克斯参数

$$I^2 = Q^2 + U^2 + V^2 \text{ 成立}$$

实际观测时, Stokes 参数是大量的采样

观测得到偏振度, e.g.  $I = \langle x^2 + y^2 \rangle$

偏振度

$$P = \frac{I_p}{I} = \frac{I_p}{I_0} = \frac{I_p}{I_0} = \frac{\sqrt{Q^2 + U^2 + V^2}}{I}$$

$\tan 2\psi = \frac{U}{Q}$  (偏振角)



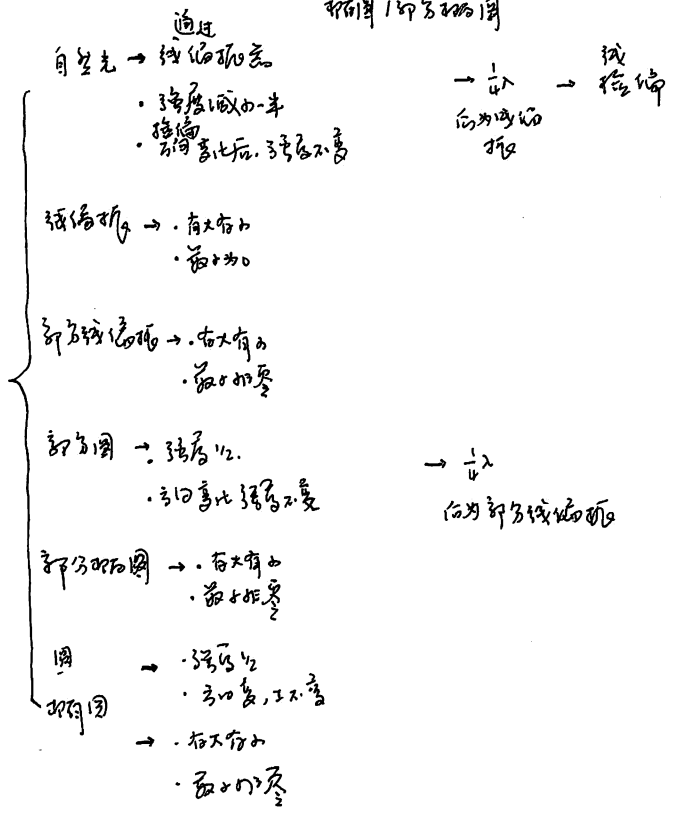
8.4 偏振光的测量

1. 偏振光的分类 → 取决于光的偏振态

是否偏振? 属于哪种偏振?

偏振光的类型 +  $\frac{\lambda}{4}$ 片

- 自然光
- 圆/部分圆偏振
- 线/部分线偏振
- 椭圆/部分椭圆



2. 部分线偏振光的测量原理 (常见)

A.  $I(\psi) = I_0 + I_p \cos^2(\psi - \psi_0)$

偏振片 透射光的方向

透射光的方向与偏振片

已知  $I_0, I_p, \psi_0$ , 三次测量即可。

例如:  $\psi_1, \psi_1 + 60^\circ, \psi_1 + 120^\circ$  分别测得透射

B. 偏振片  $40^\circ$  后, Stokes 测量

$$I_2 = I(0^\circ) - I(90^\circ) / (I(0^\circ) + I(90^\circ))$$

$$u_1 = (I(45^\circ) - I(135^\circ)) / (I(45^\circ) + I(135^\circ))$$

C. 多次测量变为平均值

3. 非线偏振光的测量原理 (画图/画图/成像)

A. 透射  $1/4$  波片  $(I \rightarrow u, v) \rightarrow (I \rightarrow v, -u)$

透射光为线偏振光, 再用线偏振片测量

4. 测量椭圆的偏振测量

透射与透射光

e.g. 透射  $P_2 = m(90^\circ) - m(0^\circ)$

$P_4, \dots$

可以计算 Stokes 参数

5. 偏振光的测量

自然光, 圆偏振片

- 透射光
- 反射光

CCD

偏振片或 Polarimeter

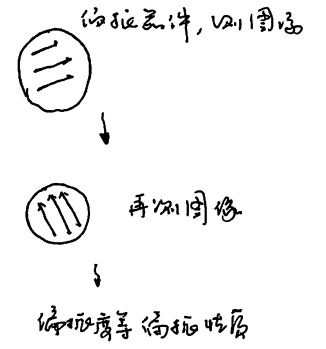
- $\lambda/4$  plate
- Arc split/lamp
- 2000 年透镜

现有的 Polarimeter

- FOLCS at Subaru
- ...

其他操作

- 偏振片位置
- 透射偏振片位置
- 光源位置
- 透射偏振片
- ...





FAST (Five-hundred-meter Aperture Spherical Telescope)

Kerstin de Grijs - 美国  
 Active mirror reflector in 1970s 反射镜为主动镜面  
 (200米直径的球面反射镜, 40°天顶角覆盖)

1951年设计, 安装在马萨诸塞州  
 1961年建成, 由麻省理工领导  
 并与阿波罗11号登月任务相关联  
 2000年发射, 冲绳, 1米口径望远镜  
 美国 Arecibo 305m  
 1963年建成, 北半球最大  
 最初用于接收信号, 后来用于天文观测  
 1974年发射, 1982年重新用于天文观测  
 接收地外文明 SETI 计划 接收站  
 德国 Effelsberg 100m  
 1971年建成, 3.5米口径  
 22个接收站 (90cm ~ 3.5m), 接收站  
 美国 Green Bank 100m  
 2000年投入使用  
 接收站设计, 接收站位于山谷  
 主方向指向月球接收站 (月球重力场 1000), 接收站位于山谷

Stars are darker than gas clouds  
 look  
 恒星比气体云暗  
 观测

Pointing accuracy  
 $\Delta\theta \approx rms \text{ pointing error}$   
 $\Delta\theta < \frac{\theta_{HP}}{10} \rightarrow \text{指向精度}$   
 (ALMA,  $\sigma = 25 \mu m$ ,  $\theta_{HP} = 0.0 \text{ arcsec}$ )  
 $\theta_{HP} = 0.0 \text{ arcsec}$   
 指向精度 (mm级)

Rayleigh-Jeans Approximation  $B_{\nu} \approx 2kT \frac{\nu^2}{c^2}$   
 $S_{\nu} = \int B(\theta, \Phi) d\Omega$   
 22000K  
 0.05K  
 4.3e 67.1e14 Hz (45mm)  
 e.g. 天文学 10^9 Hz (3cm)

指向精度与分辨率  
 指向精度大, 分辨率高  
 分辨率大, 指向精度低

Aperture efficiency  $A_{eff} = \eta A$   
 $\eta_{HP} \eta_{1.5} \eta_{2.1} \eta_{3.6} = \exp\left(-\left(\frac{\nu}{\nu_{HP}}\right)^2\right)$   
 1.5米口径, 效率 0.5  
 3.6米口径, 效率 0.2  
 2.1米口径, 效率 0.5  
 1.5米口径, 效率 0.5



Aperture efficiency  $A_{eff} = \eta A$   
 指向精度与分辨率  
 分辨率大, 指向精度低

Aperture efficiency  $A_{eff} = \eta A$   
 指向精度与分辨率  
 分辨率大, 指向精度低

Aperture efficiency  $A_{eff} = \eta A$   
 指向精度与分辨率  
 分辨率大, 指向精度低

美国射电望远镜历史

美国 Lovell Bank 100m  
 1951年设计, 安装在马萨诸塞州

1961年建成, 由麻省理工领导

并与阿波罗11号登月任务相关联

2000年发射, 冲绳, 1米口径望远镜

美国 Arecibo 305m

1963年建成, 北半球最大

最初用于接收信号, 后来用于天文观测

1974年发射, 1982年重新用于天文观测

接收地外文明 SETI 计划 接收站

德国 Effelsberg 100m

1971年建成, 3.5米口径

22个接收站 (90cm ~ 3.5m), 接收站

美国 Green Bank 100m

2000年投入使用

接收站设计, 接收站位于山谷

主方向指向月球接收站 (月球重力场 1000), 接收站位于山谷

Green Bank in SRT 64米

1.5米口径望远镜 65米

- e.g. COBE  $\Delta\theta \approx 7^\circ$
- WMAP  $\Delta\theta \approx 15'$
- Planck  $\Delta\theta \approx 5'$

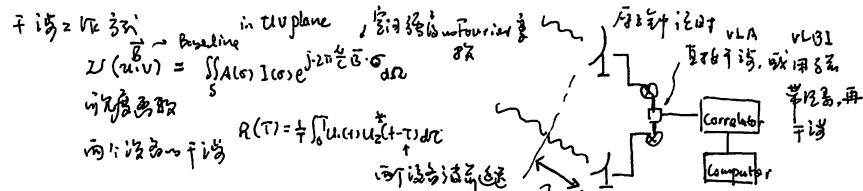
单口径天线与干涉仪

射电入  $\sim 10^5$  光年,  
 但口径不可能做的太大, 因此运用综合孔径望远镜 (1954 Martin Ryle) (射电  $\Delta\theta \sim \frac{\lambda}{d}$ )

- e.g. 荷兰 WSRT, 澳大利亚 ATCA, 英国 MERLIN, VLA (甚大阵)
- 一维干涉  $\sim 96m$
- 二维干涉  $\sim 6km$
- 三维干涉  $\sim 100km$
- 27面, Y型干涉阵, 最长基线长度 35km

JVLA (甚大阵)  
 Jansky

探测灵敏度提高一个量级  
 $\sim 50GHz$  使用频率



VLBI 最高空间分辨率  
 美国 1971 Arecibo 观测木星  $\sim 10^5 \times 2 \times 10^5$   
 1995 GBT 观测 Kepler 运动  
 精度  $10 \mu\text{arcsec}$  分辨率  $\sim 1'$   
 $0.001$  100m 射电

EVN (European VLBI network)

e-VLBI (Electronic, 实时 VLBI, 用 Internet 传输)

Note: 干涉阵列 (干涉阵列) 是一组干涉 Fourier 变换对。  
 观测阵列

中国的 VLBI, 用于对嫦娥奔月的精确定位

北斗卫星, 作为背面测量的中站

SKA 大口径面积, 高分辨率, 大口径, 灵敏度 (南纬 60 度)

科学目标: 宇宙暗物质  
 星系演化, 宇宙学红移  
 宇宙学, 宇宙学红移, 宇宙学红移, 宇宙学红移

ALMA image of young star & planetary disk

中国空间毫米波干涉阵列

射电天文学大前哨问题

- 高分辨率观测  
 向政府, 向民间观测频率
- 暗物质, 宇宙学  
 宇宙暗物质  
 宇宙学
- 黑洞候选者观测

VLBI  
 银河系中心观测, 黑洞成像过程  
 黑洞视界成像成为可能  $\rightarrow$  观测黑洞阴影  
 EHT (Event Horizon Telescope,  $50 \mu\text{arcsec}$  resolution)  
 $20 \mu\text{arcsec}$  resolution

普朗克定律

$$B_{\nu} \equiv \frac{2kT\nu^2}{c^2}, \text{ 与频率成正比}$$

$$\text{空间分辨率 } \theta \leq \frac{\lambda}{D}, \text{ 而口径 } D \approx \frac{\pi \theta^2}{4}, I = \frac{2kT\nu}{\lambda^2}, S = I \cdot \frac{\pi \theta^2}{4}$$

$$\Rightarrow T_b \geq \frac{2\sigma^2}{\pi k} S, \text{ 4000km Base line } T_b \sim 7.4 \times 10^7 K$$

$> 0.01 Jy$  在地球轨道上基线长 4000km 观测频率以亮温度不超过  $7.4 \times 10^7 K$

Reference

Interferometry and Synthesis in Radio Astronomy.  
 Thompson, Moran, Swenson 1996  
 Essential Radio Astronomy  
 James S. Condon Scott M. Ransom 2016

红外、紫外天文观测原理 基础知识; 红外: 探测天文; 光谱学总结  
望远镜: 口径, 结构, 误差; 研究对象

孔旭 xkong@umc.edu.cn  
中国科大 天文系

1. 基础知识

物体的温度决定其辐射谱长 | 低温 ~ 长波  
高温 ~ 短波

$$T_{\text{peak}} = 2.9 \times 10^3 \text{ m} \cdot \text{K}$$

自身温度 星体辐射 ~ 瑞利-维恩  
(不同星体, 同一星体不同波段  $\lambda_{\text{peak}}$  不同, T 不同)  
不同物理过程

红外天文地重要

但设备和观测方法各有差异

2. 红外天文 (利用红外波段, 研究天体) 学科

- 红外窗口
- 观测手段
- 观测仪器
- 望远镜

行星大气数据 ULRG } 红外窗口  
starburst } 观测手段  
Dwarf } 观测仪器  
Elliptical } 望远镜

Discovery of Infrared 1800年, 英国. 威廉. 赫歇尔在太阳中发现红外辐射  
并用温度计发现红外线的存在

	$\lambda$	T	
近红外	0.7 ~ (1.05) $\mu\text{m}$	740 ~ (3000-5200)	Cooler Red stars Red giants Planets. Dust warmed by starlight
中红外	5 to (25 to 40)	(2.5 - 140) ~ 740	
远红外	(25 to 40) to (200-350)	(10.6 ~ 3) to (2.5 - 140)	Cold dust Central region of galaxies very cold molecular gas

Source of IR Emission

Dusty regions (star forming regions)

- PAH (多环芳香烃)
- star forming region dust
- 行星大气辐射
- 冷尘埃辐射 (10-100  $\mu\text{m}$ )

Cool Object

- small cool stars, red giants ( $1 \mu\text{m}$ )
- planets, comets, asteroids
- interstellar dust (20-200  $\mu\text{m}$ ), planetary disk

Align Redshift objects

光谱 → 红外

利用 Lyman- $\alpha$  break 特征  
光谱 + 红外可以观测到比特征

{ 利用 Lyman limit (912  $\text{\AA}$ ) for 277 波段  
利用 4000  $\text{\AA}$  for 272

Molecule vibration and rotation lines

光谱特征, 谱线的红外

H<sub>2</sub> 没有谱线辐射, 同 CO 观测到的多谱  
(CO<sub>2</sub>, H<sub>2</sub>O, silicates, PAH 等)

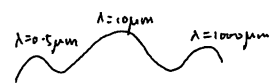
红外观测的重要性

- 红外光谱与波长成反比  
观测宇宙中, 红外辐射, 尘埃辐射, 行星大气辐射
- 冷物体 20K, 宇宙尘埃, 行星大气, CM 的 peak
- Early Universe
- 分子和尘埃 吸收谱线分布

观测困难

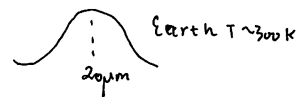
1. 地球大气 对红外辐射吸收, 只有近中红外有一些窗口  
大气中 CO<sub>2</sub>, H<sub>2</sub>O, O<sub>3</sub>, CH<sub>4</sub>, NO<sub>2</sub> 对红外吸收强  
吸收严重  
红外望远镜在太空区域 避免大气吸收  
(智利, 夏威夷, 南极 格陵兰)  
TM2 观测

2. 2. 天体辐射和地球大气存在吸收  
吸收严重 → 空间观测  
吸收严重大气吸收 → 寒冷, 干燥  
吸收严重观测自身辐射  
~ 10K 甚至冷



- 红外光谱分辨率 (曝光) 整个波段
- CM 的 (273K) 1000  $\mu\text{m}$
- 望远镜 (红外光谱对太阳光辐射) T=300K,  $\lambda=10 \mu\text{m}$

3. 望远镜自身的热辐射



### 红外望远镜的特点

HST (光学 + 近红外 JH)  
JWST

不同时间的观测, 采用衍射式结构  
减少观测中心机械误差  
减小散光, 减少衍射影响  
公差控制不严格, 而是抛光镀膜, 减少衍射影响  
主镜镀金, 红外反射率高

### 2. 光学望远镜对比天文台

光学望远镜, 如 f15

红外望远镜, 降低大气背景亮度, 望远镜口径尺寸和像元间距  
f/20 ~ f/100

### 红外观测模式 Chopping and nodding

和条的单一背景 望远镜存在 + 天空背景, 单帧图像背景 交替出现  
通过望远镜在两个不同位置间快速移动 "chopping and nodding"  
即为红外望远镜观测制 主要观测制 (望远镜, 望远镜, 望远镜)  
副镜观测制 (望远镜制) ~ Hz  
如果观测背景不是特别强烈, 此种方法 望远镜观测制 (望远镜附近背景)  
望远镜观测制 (望远镜附近背景)  
望远镜观测制 (望远镜附近背景)

### 红外观测的地点

在红外波段上, 减少水汽吸收; 地南的观测观测近红外 JHK 波段。  
space 与地面红外相差 10<sup>6</sup> 倍, 40cm 空间 IR 观测 ≈ 8m 地面 IR 观测

### 红外探测器

光学: CCD (电荷耦合器件, 背景噪声 → 灵敏度与波长 1.1 μm)  
红外: 低温探测器元件, 使光子灵敏器件在低温中;  
gap  
量子阱: 1.0 ~ 5.5 μm  
硅探测器: 0.8 ~ 25 μm 还有利用探测热辐射的探测器  
砷化镓: 6.0 ~ 27 μm  
量子阱: > 25 μm (近红外)  
原理为 Hybrid array construction  
+  
Si readout layer (Silicon CMOS)  
探测器读出芯片, 与光学 CCD 类似

### 常用的红外望远镜

地面红外观测多为 NIR

空间观测所有中远红外 SPITZER (2008年发射) 同口径观测近红外  
WISE  
HERSCHEL

IRAS (1983-1985) (2.1, 6, 12, 25 μm) 天文, 第一颗红外天文卫星  
ISO (1995-1998) (2.4-240 μm) 观测与光谱的红外望远镜  
SPITZER SPACE TELESCOPE (2003-2008) (1.1, 3.6, 4.5, 8, 16, 34, 70 μm) 4 band 观测, 近红外波段, 中红外波段, 远红外波段。

SOFIA (30-300 μm) 口径 2.5m, 搭载波音 747 上, 20 年寿命。

HERSCHEL SPACE OBSERVATORY (中远红外) 3.5m 口径, 图像分辨率高

WISE (2009-2010) 0.4m 口径, 1000 times deeper than IRAS  
(3.4, 4.6, 12, 22 μm) 用探测器进行红外观测

JWST (future)  
(NIR Camera 0.6-5 μm 2.1' x 2.1' FOV 6.5m 口径  
NIR Spec. 5-28 μm 10 year life time  
MIR image & spec 5-28 μm)

### 3. 紫外天文

波段: 紫外  
观测: 紫外天文, 卫星, 航天飞机等观测 (大口径及 UV)

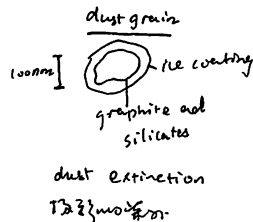
100 Å ~ 4000 Å (3 ~ 124 eV) { 2000 Å ~ 4000 Å 近紫外  
912 Å ~ 2000 Å 远紫外  
3200 Å | 3200 ~ 4000 Å 100 Å ~ 912 Å 极紫外  
空间观测 地面观测不行  
Lyman limit

### UV 观测

望远镜 口径 4m 天文望远镜观测 { 温度 21000K 辐射和  
AUN 天体: 内吸积盘  
丰度: 2y, 多元素: 4y, 多元素: 4y, 多元素: 4y, 多元素: 4y  
OVI, CIV, NV, CIII CIV 研究元素丰度

优势: 紫外波段的天文望远镜  
+22  
+23  
+26  
ground  
space  
H<sub>2</sub> (宇宙)

对尘埃消光敏感 (只是优势也是劣势) { 可以研究尘埃消光  
尘埃消光









探测器的灵敏度

(如何计算, 如何设计)

灵敏度: 所能探测的最小物理量

探测器的灵敏度: 探测器所能测到的最小信号

给定置信度时, 不是由背景涨落引起, 而是由探测器的灵敏度

计数率本底  $B$  (counts), 观测时间, 探测面积  $A$ , 单位面积活度  $\sqrt{BA\tau}$

做误差分析, 求误差, 灵敏度

$$R = \frac{\sigma \sqrt{BA\tau}}{\eta A \tau} = \frac{\sigma}{\eta} \sqrt{\frac{B}{A\tau}} \quad (\text{ph/cm}^2\text{s})$$

探测器的灵敏度

$R \cdot A \cdot \tau$  为活度计数

$\sigma = \frac{R \cdot A \cdot \tau}{\sqrt{BA\tau}}$  为单点活度

4或5

所以应该降低本底, 增加面积

对于最佳探测器, 单位活度  $\sqrt{BA\tau}$

$A \cdot \eta$  为有效面积

探测区域面积

$$R = \frac{\sigma \sqrt{BA\tau}}{\eta A \tau} = \frac{\sigma}{\eta A} \sqrt{\frac{BA\tau}{\tau}} \quad (\text{ph/cm}^2\text{s})$$

所以灵敏度可以降低本底, 提高灵敏度

同时, 还可以对信号测量时间增加灵敏度

结论: 对提高灵敏度, 可以用最佳型

0.9. 2管有两台仪器 A. 最佳型 有效面积  $10\text{cm}^2$ , 总长  $0.01\text{cm}$

B. 普通型 有效面积  $10^4\text{cm}^2$

单位活度  $1\text{ counts/s/cm}^2$

观测活度物的活, 用哪台仪器?

$$\frac{S}{N} = \frac{FA\tau}{\sqrt{BA\tau}} = \begin{cases} A. 10^3 F\tau & \text{有同最佳型} \\ B. 10^2 F\tau & \end{cases}$$

$$S/N = \sqrt{FA\tau} = \begin{cases} A. \sqrt{10} F\tau & \\ B. \sqrt{10^4} F\tau & \text{有同普通型} \end{cases}$$

统计误差

无限长观测时间, 是否可以实现到无限小的活?

对本底估计是否是有偏的? 对本底估计是否准确? 如果是, 测量时间越长

可探测到更弱的活, 但总是有系统误差的, 所以统计误差/本底  $\rightarrow$  系统误差  $1/(e_s \tau A)$

再增加测量时间就没用了.

이론 문제  
 문제풀이  
 예제  
 예제

이론 문제: 이 문제에서 주어진 조건을 바탕으로 풀이

1. 이 문제에서 주어진 조건을

이 문제에서 주어진 조건을 바탕으로 풀이  
 이 문제에서 주어진 조건을 바탕으로 풀이  
 이 문제에서 주어진 조건을 바탕으로 풀이

Integrated fixed broadband network (IFB-Integrated fixed line)  
 50% - 100% of the total fixed line

이론 문제: 이 문제에서 주어진 조건을 바탕으로 풀이

이론 문제: 이 문제에서 주어진 조건을 바탕으로 풀이

2. 이 문제에서 주어진 조건을

이론 문제: 이 문제에서 주어진 조건을 바탕으로 풀이

3. 이 문제에서 주어진 조건을

이론 문제: 이 문제에서 주어진 조건을 바탕으로 풀이

• 图像的 dark current

(CCD 元光敏器件的输出, 与材料中热电子产生有关, 可忽略)

降噪 (通过平均, 暗电流减小一半)

测光 (在时间上积分)

• 剔除宇宙射线 (quasi-particles, 5% 叠放, 10% 丢失)

多次曝光, 识别, 剔除

• 平均: CCD 像素大小不一, 导致天体表面亮度不均匀

多次曝光时像素不均匀度会降低, 平均后亮度平均, 即-后得到平均亮度  
↓  
可以逐像素插值入差平均

• 天文背景:

由天体以外的天体组成, 双观测-天体行踪与天体周围

• 改正 ra-dec

由 1 组 2 组测量, 给出坐标: 
$$\begin{matrix} \text{ra dec} & \text{pixel} \\ u = x + ax + by + c \\ v = y + dx + ey + f \end{matrix}$$
  
↓  
USNO  
(U.S. naval observatory 恒星位置目录)

• 光度零点校准

(光度零点 photometric zero points)

使用测光序列程序  $m = -2.5 \log \frac{\text{counts}}{\text{exps}} + \text{mag}_{zp}$  DAOPHOT 软件包  
chip to chip

4. 图像识别

光度识别: flux, error

天体识别: de Vaucouleur law, exp law

天体识别: x, y in image → ra dec, position

尺寸参数: 二阶矩, 矩的归一化, 面积, 半径

常用软件: source extractor

build catalog of objects from an astronomical image

DAOPHOT

package for stellar photometry, for crowded fields

5. 图像处理

源识别: 光度分布, 位置, 特征

背景源识别: 谱线, 特征, 光度分布

面源识别: 光度分布, 位置, 特征

长曝光: 二阶矩, 位置, 特征

高红移星系: 特征, 光度, 位置, 特征

• morphology of galaxies

where, when, how from?

question } evolution of morphology.  
morphology as function of environment & redshift

母星系分类: 椭圆, 棒旋, 不规则, 不规则, 不规则, 不规则  
问题: 双核, 三核, 不规则, 不规则, 不规则, 不规则  
椭圆星系 (E, S0-S, SB, Irr) }  
棒旋星系 (SAB, SB) }  
不规则星系 (Irr) }  
不规则星系 (Irr) }

• 表面光度分布

S morphological type 有: elliptical, spiral, irregular  
elliptical → R<sup>1.4</sup> law (de Vaucouleur's law)  $I(R) = I_e \exp\left(-7.6 \left[\left(\frac{R}{R_e}\right)^{1.4} - 1\right]\right)$   
spiral ~ z component { disk (exponential)  $I(R) = I_d \cdot \exp\left(-\frac{R}{R_d}\right)$   
bulge (R<sup>1.4</sup>)  $I(R) = I_b + 1.086 \left(\frac{R}{R_d}\right)^{1.4}$   
- 拟合参数  $I(R) = I(0) \exp\left(-m \left(\frac{R}{R_e}\right)^{1.4}\right)$

Vega & AB photometric systems  
 $m_{Vega} = -2.5 \left[ \log \int R(\lambda) f(\lambda) d\lambda - \log \int R(\lambda) S_{Vega}(\lambda) d\lambda \right]$  Vega's magnitude is close to 0.0 for all bands  
 $m_{AB} = -2.5 \left[ \log \int R(\lambda) f(\lambda) d\lambda - \log \int R(\lambda) d\lambda \right] - 48.6$ ,  $\lambda_{f,0} = 0.55 \mu m$ , zero point 3630 Jy constant  
在红外, 常用与光度 CIP 系统, 光度与光度, 光度与光度, 光度与光度  
(Measuring the Universe) P130